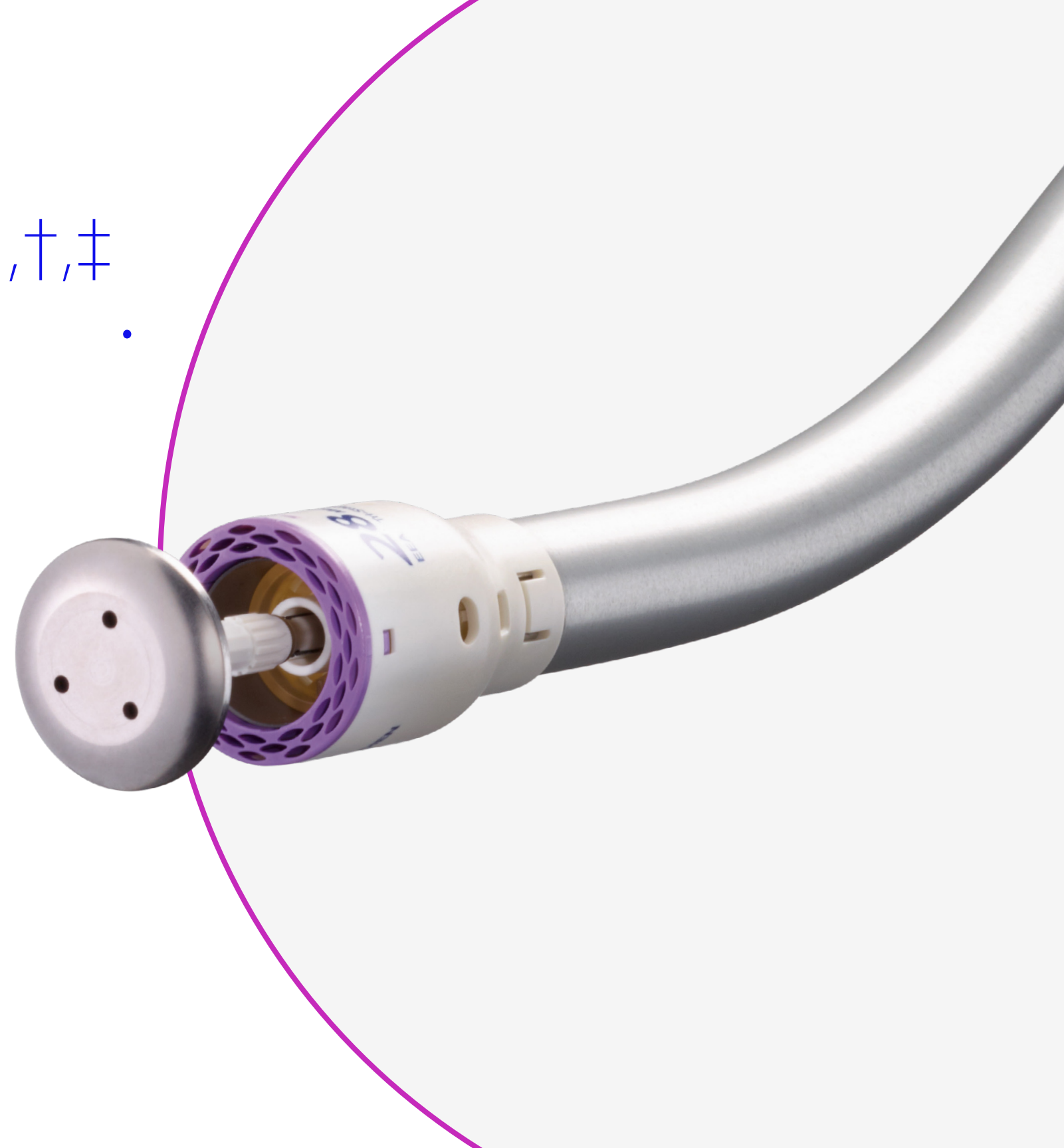


Medtronic

Moins de fuites^{1,†,‡}.
Piles non
requises.

Agrafeuse circulaire EEA^{MC} dotée
de la technologie Tri-Staple^{MC}



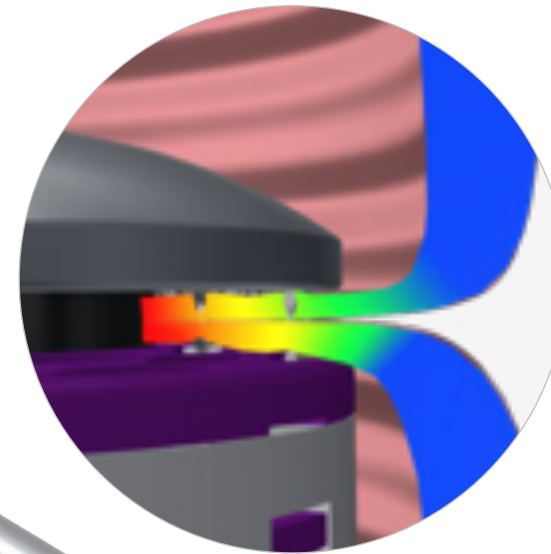
† D'après un test de fuite dans un modèle canin *in vivo* comparant TRIEEA25XT à Ethicon^{MC} CDH25P (n = 9; P = 0,023), où 50 mmHg représentaient une pression colique maximale attendue.
‡ Il se peut qu'il n'existe pas de corrélation entre les résultats précliniques et les performances cliniques chez les humains.

Avantages de la technologie Tri-Staple^{MC}

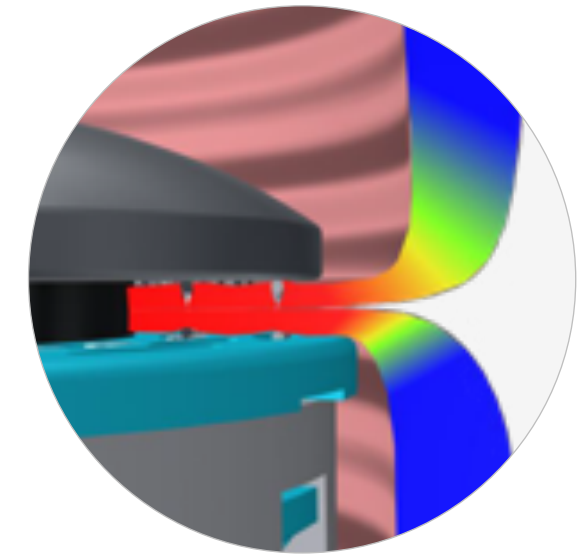
Surface inclinée de la cartouche

Trois rangées d'agrafes de hauteurs diverses

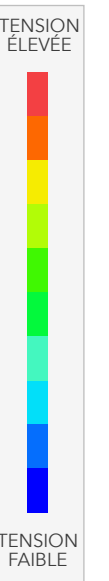
Cartouche à surface inclinée



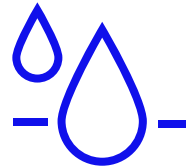
Cartouche plate



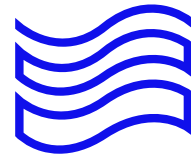
Légende



Moins de la tension sur les tissus lors de la compression et du serrage^{2,t,†,§}



Meilleure perfusion au niveau de la ligne d'agrafes^{3,Ω,††}



Performances homogène sur des tissus d'épaisseur très variable^{4-6,t,††}

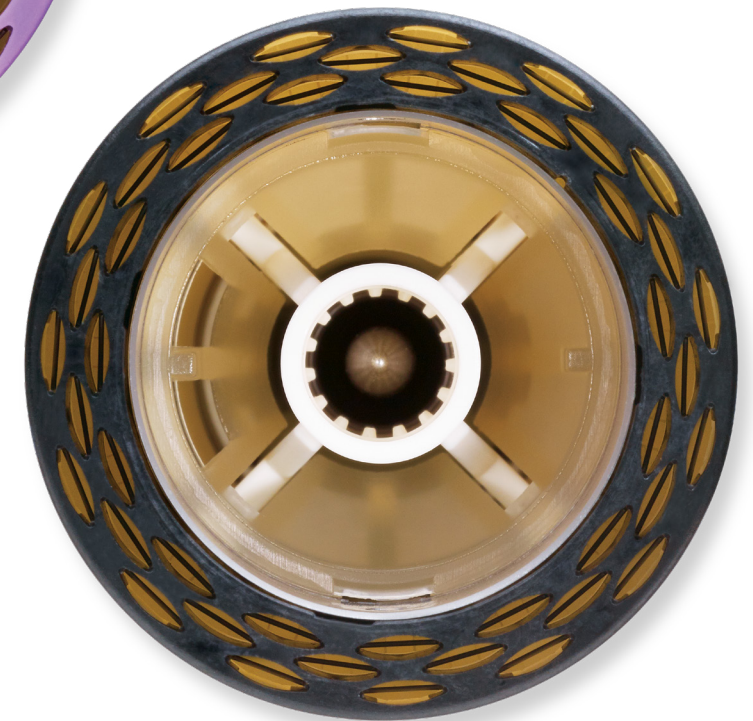
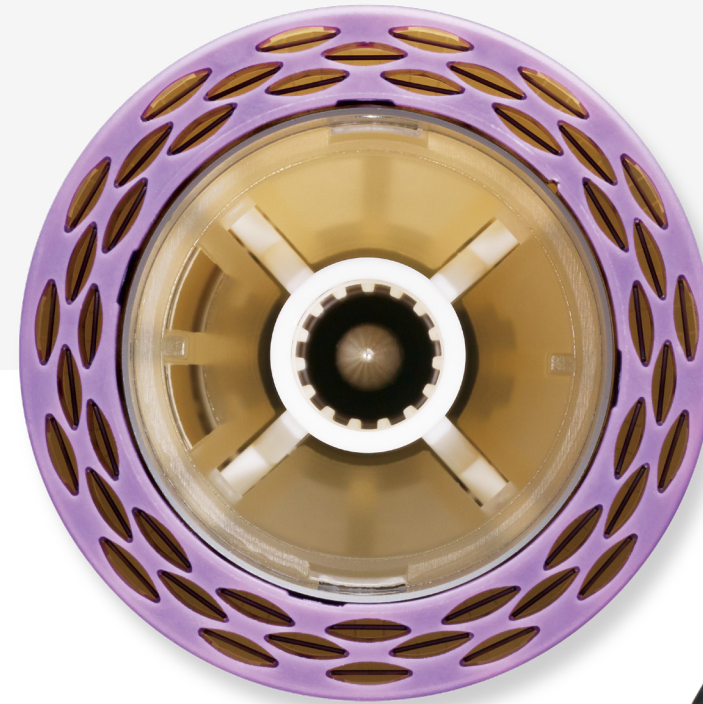
† Les résultats des essais en laboratoire ne sont pas forcément représentatifs des performances cliniques. ‡ Une analyse par la méthode des éléments finis (MEF) a été utilisée pour déterminer les profils de pression de trois agrafeuses circulaires lors du pliage des agrafes. L'agrafeuse circulaire EEA^{MC} dotée de la technologie Tri-Staple^{MC} a démontré un profil de compression gradué lors du serrage. § Comparativement aux agrafeuses circulaires Ethicon^{MC}* CDH et aux agrafeuses circulaires EEA^{MC} dotées de la technologie DST Series^{MC}. Ω Comparativement à l'agrafeuse motorisée Ethicon Circular^{MC}*. D'après l'analyse de la vascularisation de la ligne d'agrafes par MicroCT dans un modèle canin *in vivo* (CDH31P : n = 13; TRIEEA31XT : n = 15. P = 0,007) †† Il se peut qu'il n'existe pas de corrélation entre les résultats précliniques et les performances cliniques chez l'humain. †† Comparativement aux agrafeuses circulaires EEA^{MC} dotées de la technologie DST Series^{MC}.

Medtronic

Sécurité accrue^{7,†,‡}

Notre agrafeuse circulaire EEA^{MC} dotée de la technologie Tri-Staple^{MC} applique trois rangées d'agrafes à chaque déclenchement. Cette rangée supplémentaire vous offre, ainsi qu'à vos patients, une plus grande sécurité au niveau de la ligne d'agrafes^{7,†,‡}.

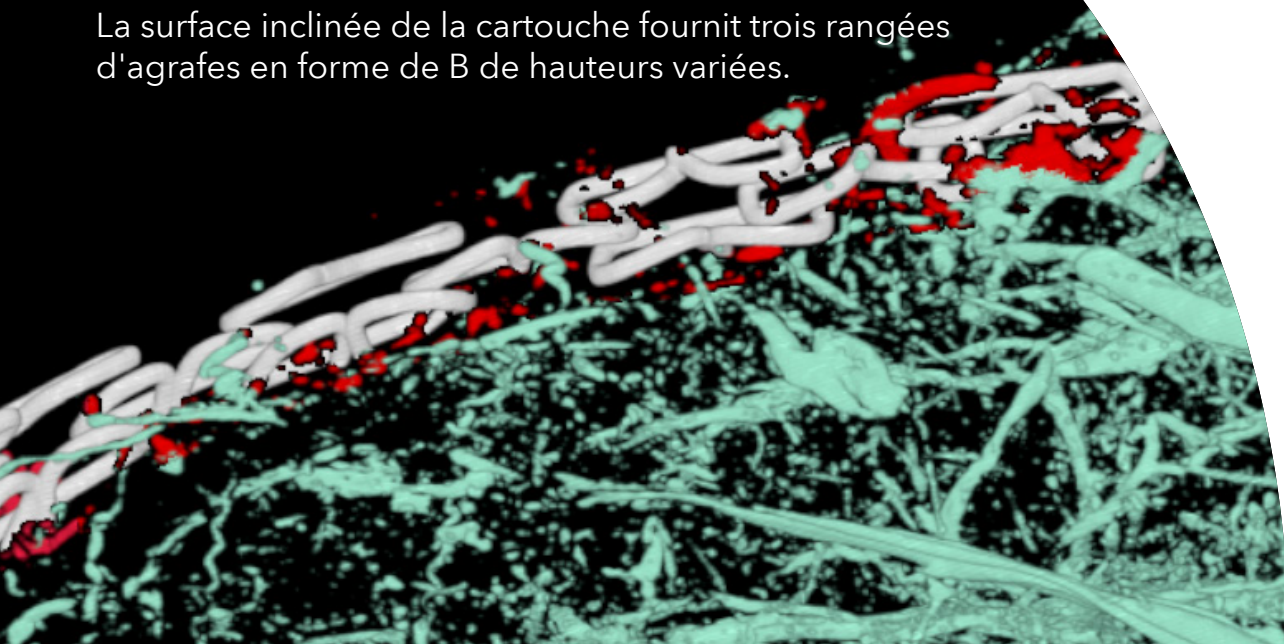
20 %
**plus de sécurité au niveau
de la ligne d'agrafes VS**
l'agrafeuse électrique
Echelon Circular^{MC*7,†,‡}



† Il se peut qu'il n'existe pas de corrélation entre les résultats précliniques et les performances cliniques chez les humains.
‡ D'après des tests de résistance à la traction comparant TRIEEA31XT et CDH31P (n = 10, P = 0,002).

Agrafeuse circulaire EEA^{MC} dotée de la technologie Tri-Staple^{MC}

La surface inclinée de la cartouche fournit trois rangées d'agrafes en forme de B de hauteurs variées.

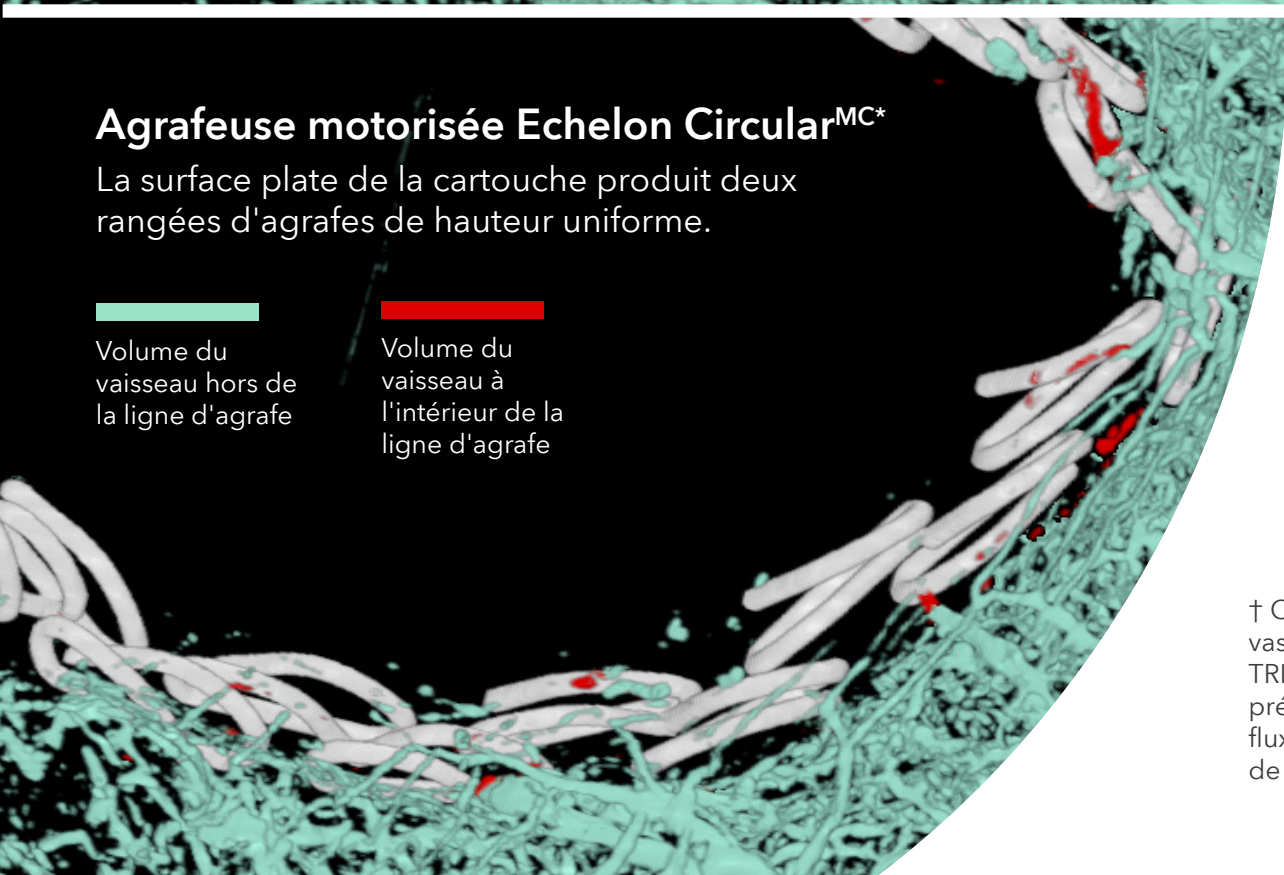


Agrafeuse motorisée Echelon Circular^{MC*}

La surface plate de la cartouche produit deux rangées d'agrafes de hauteur uniforme.

Volume du vaisseau hors de la ligne d'agrafe

Volume du vaisseau à l'intérieur de la ligne d'agrafe



La perfusion est essentielle pour la prévention des fuites anastomotiques^{8,§}.

140 % plus de perfusion

dans la ligne d'agrafes que l'agrafeuse motorisée Ethicon Echelon Circular^{MC*3,†,‡}.

† Comparativement à l'agrafeuse motorisée Ethicon Circular^{MC*}. D'après l'analyse de la vascularisation de la ligne d'agrafes par MicroCT dans un modèle canin in vivo (CDH31P : n = 13; TRIEEA31XT : n = 15. P = 0,007). ‡ Il se peut qu'il n'existe pas de corrélation entre les résultats précliniques et les performances cliniques chez l'humain. En analyse univariée, la diminution du flux sanguin était liée à la survenue d'une fuite anastomotique (aucune fuite : n = 47, réduction de 5,56 %; fuite : n = 8, réduction de 14,45 %. P = 0,001) après une anastomose rectale.

Medtronic

Enclume Tilt-top^{MC}

Force de retrait moindre^{9,†,‡}



78 %

moins de force à appliquer par rapport à l'agrafeuse motorisée Circular^{MC*} d'Ethicon^{9,†,‡}

Enclume 52 % plus mince comparativement à l'agrafeuse motorisée Circular^{MC*} d'Ethicon^{10,§}

4,99 mm



Agrafeuse circulaire EEA^{MC} dotée de la technologie d'enclume Tri-Staple^{MC}

10,38 mm



Enclume de l'agrafeuse motorisée Echelon Circular^{MC*}

L'enclume de notre agrafeuse circulaire EEA^{MC} **s'incline pour faciliter le retrait** de l'anastomose. L'agrafeuse motorisée Circular^{MC*} d'Ethicon **n'offre pas cette option.**

† Les résultats des essais en laboratoire ne sont pas forcément représentatifs des performances cliniques.
‡ D'après des tests effectués dans des milieux tissulaires simulés et comparant TRIEEA25XT et CDH25P (n = 6; P < 0,001). § D'après la comparaison entre TRIEEA28MT (n = 5) et CDH29P (n = 5).

Medtronic

Moins de fuites^{1,†,‡}

Les utilisateurs des agrafeuses circulaires EEA^{MC} dotées de la technologie d'enclume Tri-Staple^{MC} peuvent s'attendre à moins de fuites par rapport aux agrafeuses électriques Echelon Circular^{MC*1,†,‡}



80%

moins de fuites par rapport à l'agrafeuse électrique Echelon Circular^{MC*1,†,‡}

† D'après un test de fuite dans un modèle canin *in vivo* comparant TRIEEA25XT à Ethicon^{MC*} CDH25P (n = 9; P = 0,023), où 50 mmHg représentaient une pression colique maximale attendue.
‡ Il se peut qu'il n'existe pas de corrélation entre les résultats précliniques et les performances cliniques chez les humains.

Les avantages s'additionnent

L'agrafeuse EEA^{MC} dotée de la technologie Tri-Staple^{MC} surpasse l'agrafeuse motorisée Echelon Circular^{MC*} dans ces domaines clés

† Il se peut qu'il n'existe pas de corrélation entre les résultats précliniques et les performances cliniques chez les humains.

‡ D'après des tests de résistance à la traction comparant TRIEEA31XT et CDH31P (n = 10, P = 0,002). § Comparativement à l'agrafeuse motorisée Ethicon Circular^{MC*}. D'après l'analyse de la vascularisation de la ligne d'agrafes par MicroCT dans un modèle canin in vivo (CDH31P : n = 13; TRIEEA31XT : n = 15. P = 0,007). Ω Les résultats des essais en laboratoire ne sont pas forcément représentatifs des performances cliniques. †† D'après des tests effectués dans des milieux tissulaires simulés et comparant TRIEEA25XT et CDH25P (n = 6; P < 0,001).

‡‡ D'après des tests de fuite dans un modèle canin in vivo comparant TRIEEA25XT à Ethicon^{MC*} CDH25P (n = 9; P = 0,002), où 50 mmHg représentaient une pression colique maximale attendue. §§ D'après des tests de fuite dans un modèle canin in vivo comparant TRIEEA25XT à Ethicon^{MC*} CDH25P (n = 9; P = 0,023), où 50 mmHg représentaient une pression colique maximale attendue.

Meilleure irrigation^{3,t,§}

140 %

plus d'irrigation dans la ligne d'agrafes^{3,t,§}

Meilleure protection contre les fuites^{1,t,‡‡}

80 %

moins de fuites^{1,t,§§}

Force de retrait moindre^{9,Ω,††}

78 %

moins de force nécessaire pour le retrait^{9,Ω,††}

Plus de sécurité^{7,t,‡}

20 %

plus de sécurité dans la ligne d'agrafes^{7,t,‡}

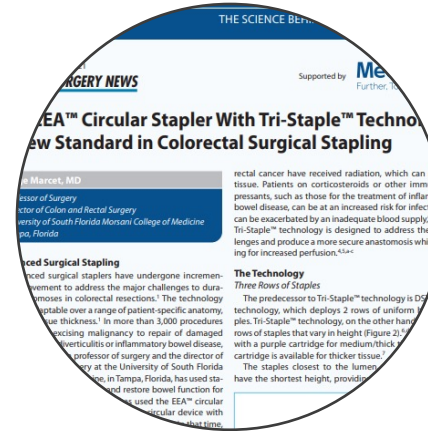
Medtronic

Medtronic

Voyez au-delà de la pile.

Une seule agrafeuse circulaire offre la confiance des trois rangées de la technologie Tri-Staple^{MC} - et moins de fuites^{1,†,‡}.

L'agrafeuse circulaire EEA^{MC} dotée de la technologie Tri-Staple^{MC}



Voyez ce qu'en disent les chirurgiens

Cliquez sur les images pour lire ce que disent les chirurgiens



† D'après des tests de fuite dans un modèle canin in vivo comparant TRIEEA25XT à Ethicon^{MC*} CDH25P (n = 9; P = 0,023), où 50 mmHg représentait une pression colique maximale attendue. ‡ Les résultats précliniques peuvent ne pas être en corrélation avec les performances cliniques chez l'humain. 1. D'après le rapport interne n° RE00365456, « Comparative in vivo leak testing for EEA™ circular staplers with Tri-Staple™ technology (TRIEEA25XT) and Ethicon Echelon Circular™* Powered stapler » (CDH25P). 21 décembre 2021. 2. D'après le rapport de tests internes no RE00200393, rév. 2, « Comparison of circular staplers: tissue compression profiles as determined by 2-D static axisymmetric finite element analysis (FEA) ». 17 juin 2021. 3. D'après le rapport de tests internes no RE00330708, rév. 1, « Perfusion analysis for circular staplers, comparing EEA™ circular stapler with Tri-Staple™ technology ». 13 mai 2021. 4. D'après le rapport de tests internes no RE00069039, rév. 5.1, « EEA™ circular stapler with Tri-Staple™ technology design verification report ». 29 septembre 2020. 5. D'après le rapport de tests en interne no RE00008030, « Tulip benchmark test report ». 18 mars 2016. 6. D'après le rapport de tests en interne no 2128-053, « Ethicon™* benchmark testing – Signia™ circular reload ». 17 juin 2014. 7. D'après le rapport de tests en interne no RE00342843, « Staple line security test comparing EEA™ circular stapler with Tri-Staple™ technology (TRIEEA31XT) and Echelon Circular™* powered stapler (CDH31P) ». 8 juin 2021. 8. A. Vignali, L. Gianotti, M. Braga, G. Radaelli, L. Malvezzi et V. Di Carlo. « Altered microperfusion at the rectal stump is predictive for rectal anastomotic leak ». Diseases of the Colon & Rectum, vol. 43, no 1 (2000), p. 76-82. 9. D'après le rapport de tests en interne no RE00354964, « Device removal force for EEA™ circular stapler with Tri-Staple™ technology vs. Echelon Circular™* powered stapler ». 7 janvier 2022. 10. D'après le rapport de tests en interne no RE00337611, « Circular stapler anvil height, weight and stapler length measurement comparing Medtronic TRIEEA28MT to Ethicon CDH29A and CDH29P ». Juin 2021.